

9. Ionische Fluide

9.1 Struktur homogener ionischer Fluide

§1. Unter ionischen Flinden sollen hier alle Mischungen (siehe Kapitel 8) mit mindestens einer Teilchensorte bestehend aus Ionen verstanden werden.

Beispiele ionischer Fluide sind

- Gasplasmen,
- verdünnte Elektrolytlösungen,
- anorganische Salzlösungen,
- „room temperature ionic liquids“ (RTILs),
- geladene Kolloide
- Polyelektrolyte

§2. Die direkte Wechselwirkung zwischen zwei Ionen der Teilchensorten i und j an den Positionen \vec{r} und \vec{r}' ist durch das Coulomb-Potential

$$\beta U_{ij}(\vec{r}, \vec{r}') = z_i z_j \frac{\ell_B}{|\vec{r} - \vec{r}'|} \quad (1)$$

gegeben, wobei $z_i, z_j \in \mathbb{Z}$ die Valenzen von Teilchen der Sorten i bzw. j sind, und ℓ_B ist die Bjerrum-Länge

$$\ell_B := \frac{\beta e^2}{4\pi \epsilon_0}. \quad (2)$$

Sie entspricht dem Abstand, in dem die elektrostatische Wechselwirkung zweier Elementarladungen gleich der thermischen Energie ist.

§3. Im Folgenden werden nur Systeme betrachtet, die der Bedingung der globalen Ladungsneutralität genügen.

Es kann gezeigt werden, dass dann der thermodynamische Limen unabhängig von der geometrischen Form des Systems ist (siehe J.L. Lebowitz & E.H. Lieb, Phys. Rev. Lett. 22, 631 (1969) und E.H. Lieb & J.L. Lebowitz, Adv. Math. 9, 316 (1972)).

Allerdings ist die globale Ladungsneutralität dafür nicht notwendig: Formunabhängigkeit ist gewährleistet, sobald für die Gesamtladung Q und das Systemvolumen $|V|$ $\frac{Q}{|V|} \xrightarrow{V_3} 0$ gilt, d.h. sobald Q genügend langsam divergiert.

○

§4. Gasplasmen und verdünnte Elektrolytlösungen werden häufig im Rahmen der sogenannten Poisson-Boltzmann-Theorie beschrieben.

Sie besteht in der „random-phase approximation“ (RPA, siehe § 4.3.1) der elektrostatischen Wechselwirkung Gl.(1) mit dem idealen Gas als Referenzsystem ($U_{ij}^{int}(\vec{r}, \vec{r}') = 0$):

$$\begin{aligned} \text{BSI}[\epsilon] = & \int_V d^d r \sum_i \epsilon_i(\vec{r}) (\ln(\epsilon_i(\vec{r}) N_i^0) - 1 - \beta \mu_i + \beta V_i(\vec{r})) \\ & + \frac{e^2}{2\epsilon} \int_V d^d r \int_V d^d r' \sum_{ij} \frac{z_i z_j}{|\vec{r} - \vec{r}'|} \epsilon_i(\vec{r}) \epsilon_j(\vec{r}'). \end{aligned} \quad (3)$$

Hierin ist ϵ die Durchlässigkeit konstante des Mediums, z.B. $\epsilon=1$ (Vakuum) bei Gasplasmen und $\epsilon \approx 80$ (Wasser) für wässrige Elektrolytlösungen.

Dieses Dichte funktional ist zu minimieren unter der Nebenbedingung der globalen Ladungsneutralität (§3):

$$\int_V d^d r \sum_i z_i e \epsilon_i(\vec{r}) = 0. \quad (4)$$

$$\Rightarrow \delta \beta \mathcal{N}[\mathbf{g}] = \int_V d^d r \sum_i \delta g_i(\vec{r}) (\ln(g_i(\vec{r})) \lambda_i^{(0)} - \beta \epsilon_i + \beta V_i(\vec{r})) \\ + z_i \frac{e}{\epsilon} \int_V d^d r' \underbrace{\frac{\sum_j z_j g_j(\vec{r}')}{|\vec{r} - \vec{r}'|}}_{=: \beta e \phi_{\text{int}}(\vec{r}, [\mathbf{g}])}$$

$$= \beta \lambda \int_V d^d r \sum_i z_i e \delta g_i(\vec{r}) \quad (5)$$

mit dem Lagrange-Multiplikator $\beta \lambda$ und dem internen Potential an der Position \vec{r} , $\phi_{\text{int}}(\vec{r}, [\mathbf{g}])$.

Daraus folgt die ELG

$$g_i(\vec{r}) = \frac{\exp(\beta(\mu_i + z_i e \lambda))}{\lambda_i^{(0)}} \exp(-\beta V_i(\vec{r}) - \beta e z_i \phi_{\text{int}}(\vec{r}, [\mathbf{g}])). \quad (6)$$

§5. Das elektrostatische Potential $\phi_{\text{int}}(\vec{r}, [\mathbf{g}])$ erfüllt das Gaußsche Gesetz

$$-\epsilon \epsilon \vec{\nabla}^2 \phi_{\text{int}}(\vec{r}, [\mathbf{g}]) = \sum_i z_i e g_i(\vec{r}), \quad (7)$$

Woraus man mit Gl. (6)

$$-\epsilon \epsilon \vec{\nabla}^2 \phi_{\text{int}}(\vec{r}, [\mathbf{g}]) = \sum_i \frac{z_i e}{\lambda_i^{(0)}} \exp(\beta(\mu_i + z_i e \lambda)) \exp(-\beta V_i(\vec{r}) - \beta e z_i \phi_{\text{int}}(\vec{r}, [\mathbf{g}])) \quad (8)$$

erhält.

Typischerweise enthält das externe Potential $V_i(\vec{r})$ auch einen elektrostatischen Beitrag, der von Ladungen außerhalb des Systemvolumens \mathcal{V} stammt:

$$V_i(\vec{r}) = \bar{V}_i(\vec{r}) + z_i e \phi_{\text{ext}}(\vec{r}), \quad (9)$$

$$-\epsilon \epsilon \vec{\nabla}^2 \phi_{\text{ext}}(\vec{r}) = 0 \quad \text{für } \vec{r} \in \mathcal{V}. \quad (10)$$

Mit dem gesamten elektrostatischen Potential

$$\phi(\vec{r}, \vec{g}) := \phi_{ext}(\vec{r}) + \psi_{int}(\vec{r}, \vec{g}) \quad (11)$$

ergibt sich das Dichtaprofil Gl. (6) zu

$$s_i(\vec{r}) = \frac{\exp(\beta(\mu_i + z_i e \varphi))}{\Lambda_i^\alpha} \exp(-\beta \bar{V}_i(\vec{r}) - \beta e z_i \phi(\vec{r}, \vec{g})), \quad (12)$$

wobei $\phi(\vec{r}, \vec{g})$ Lösung der Poisson-Boltzmann-Gleichung (PBG)

$$-\epsilon \epsilon \tilde{\nabla}^2 \phi(\vec{r}, \vec{g}) = \sum_i z_i e \frac{\exp(\beta(\mu_i + z_i e \varphi))}{\Lambda_i^\alpha} \exp(-\beta \bar{V}_i(\vec{r}) - \beta e z_i \phi(\vec{r}, \vec{g})) \quad (13)$$

ist.

- §6. Zur Vereinfachung soll hier statt des allgemeinen PBG Gl. (13) nur der Fall des sogenannten „restricted primitive model“ (RPM) ionisches Fluide weiter betrachtet werden.

Hierzu gibt es nur zwei Ionenarten (Kationen (+) und Anionen (-)), und die Teilchen sind harte Kugeln mit Durchmesser D und einer Punktladung $\pm e$ im Zentrum.

- Globale Ladungneutralität Gl. (14) führt für das homogene System ($s_i(\vec{r}) = \text{const} = \bar{s}_i$) auf lokale Ladungneutralität:

$$0 = \int_V d^3r \sum_i z_i e s_i(\vec{r}) = |V| \sum_i z_i e \bar{s}_i = |V| \sum_i z_i e \bar{s}_i(\vec{r}). \quad (14)$$

Wegen der Valenzen $z_\pm = \pm z$ im RPM ist also $\bar{s}_+ = \bar{s}_-$.

Ionenkonzentrationen werden gewöhnlich durch die Ionenstärke

$$\bar{J} := \frac{1}{2} \sum_i z_i^2 \bar{s}_i \quad (15)$$

ausgedrückt, die für das RPM durch $\bar{J} = z^2 \bar{s}_+ = z^2 \bar{s}_-$ gegeben ist.

- An der Position \vec{r}' werde nun ein Jon des Sorte j fixiert. Dies erzeugt ein nicht-elektrostatisches internes Potential

$$\bar{V}_i(\vec{r}) = \begin{cases} \infty & |\vec{r} - \vec{r}'| \leq D \\ 0 & |\vec{r} - \vec{r}'| > D \end{cases} \quad (16)$$

und das extreme elektrostatische Potential

$$\beta e \psi_{\text{ext}}(\vec{r}) = -2 \frac{\ell_B}{\epsilon |\vec{r} - \vec{r}'|} + \text{const.} \quad (17)$$

Das Dichtenprofil $\bar{g}_i(\vec{r})$ ist demnach zu lesen als

$$g_i(\vec{r}) = g_{i,j}^{(1)}(\vec{r}, \vec{r}') = \bar{g}_i g_{i,j}(\vec{r}, \vec{r}'). \quad (18)$$

- Globale Ladungssentralität Gl.(14) fordert

$$-\epsilon \epsilon \vec{\nabla} \psi(\vec{r}, [g]) \rightarrow 0 \quad \text{für } |\vec{r} - \vec{r}'| \rightarrow \infty, \quad (19)$$

und für die Wahl

$$\psi(\vec{r}, [g]) \rightarrow 0 \quad \text{für } |\vec{r} - \vec{r}'| \rightarrow \infty \quad (20)$$

folgt aus Gl. (12)

$$g_i(\vec{r}) \rightarrow \frac{e p(\beta(\alpha_i + z_i e \lambda))}{\lambda_i^d} = \bar{g}_i = \frac{z}{2^2} \quad \text{für } |\vec{r} - \vec{r}'| \rightarrow \infty. \quad (21)$$

- Die PBG Gl.(13) vereinfacht sich dann für $|\vec{r} - \vec{r}'| > D$ zu

$$\begin{aligned} -\epsilon \epsilon \vec{\nabla}^2 \psi(\vec{r}, [g]) &= \sum_i z_i e \bar{g}_i i p(-\beta e z_i \phi(\vec{r}, [g])) \\ &= \frac{e^2}{2} (e p(-\beta e z \phi(\vec{r}, [g])) - e p(\beta e z \phi(\vec{r}, [g]))) \\ &= -\frac{2 e^2}{2} \sinh(\beta e z \phi(\vec{r}, [g])) \end{aligned} \quad (22)$$

$$\Leftrightarrow \vec{\nabla}^2 \beta e z \phi(\vec{r}, [g]) = \underbrace{\frac{2 \beta e^2}{\epsilon \epsilon}}_{=\frac{8 \pi \ell_B}{\epsilon}} \sinh(\beta e z \phi(\vec{r}, [g])). \quad (23)$$

Gleichung (23) ist mit den Randbedingungen Gl. (20) und (vgl. Gl. (17))

$$\frac{\vec{r} - \vec{r}'}{|\vec{r} - \vec{r}'|} \cdot \vec{\nabla} \beta e \phi(\vec{r}, [g]) = -\frac{z_j \ell_B}{\epsilon D^2} \quad \text{für } |\vec{r} - \vec{r}'| = D \quad (24)$$

zu lösen.

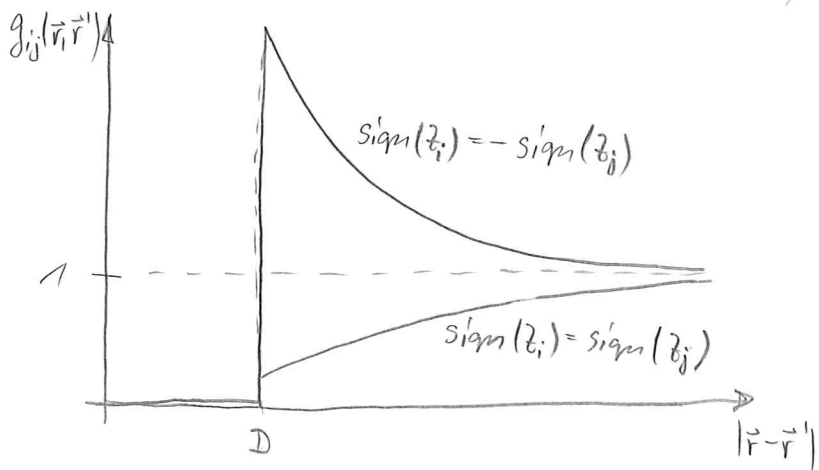
Die in Gl. (23) vorgefundene Länge

$$\frac{1}{\kappa} = \sqrt{\frac{\epsilon}{8\pi k_B}} \quad (25)$$

heißt Debye-Länge.

- Für die Lösungen $\phi(\vec{r}, \{g\})$ von Gl. (23), (20) und (24) ergibt sich mit Gl. (12), (18) und (21)

$$g_{ij}(\vec{r}, \vec{r}') = \exp(-\beta V_i(\vec{r}) - \beta \text{Ez}_i \phi(\vec{r}, \{g\})) \quad (26)$$



§7. Die PBG Gl. (23) muss i.A. numerisch gelöst werden.

Eine Vereinfachung ergibt sich bei hohen Temperaturen, für die die Ausdrücke $\exp(-\beta \text{Ez}_i \phi(\vec{r}, \{g\}))$ in Gl. (12) und (13) linearisiert werden können (Debye-Hückel-Näherung):

$$\exp(-\beta \text{Ez}_i \phi(\vec{r}, \{g\})) \approx 1 - \beta \text{Ez}_i \phi(\vec{r}, \{g\}). \quad (27)$$

Damit erhält man aus Gl. (23) die linearisierte PBG

$$\vec{\nabla}^2 \phi(\vec{r}, \{g\}) = \kappa^2 \phi(\vec{r}, \{g\}). \quad (28)$$

Für $d=3$ Raumdimensionen lautet Gl.(28)

$$\frac{1}{r} \frac{\partial^2}{\partial r^2} (r \phi(r)) = \kappa^2 \phi(r) \quad (29)$$

$$\Rightarrow \frac{\partial^2}{\partial r^2} (r \phi(r)) = \kappa^2 r \phi(r) \quad (30)$$

$$\Rightarrow r \beta e \phi(r) = C_1 \exp(\kappa r) + C_2 \exp(-\kappa r) \quad (31)$$

$$\Rightarrow C_1 = 0 \quad \text{da} \quad \phi'(r) \rightarrow 0 \quad \text{für} \quad r \rightarrow \infty \quad (32)$$

$$\Rightarrow \beta e \phi'(D) = -C_2 \left(\frac{1}{D^2} + \frac{\kappa}{D} \right) \exp(-\kappa D) \stackrel{\text{Gl. (24)}}{=} -\frac{z_j l_B}{\epsilon D^2} \quad (33)$$

$$\Rightarrow \beta e \phi(r) = \frac{z_j l_B}{\epsilon(1+\kappa D)} \cdot \frac{\exp(-\kappa(r-D))}{r}, \quad r > D \quad (34)$$

$$\Rightarrow g_{ij}(r) = \exp(-\beta V_i(r)) \left(1 - \frac{z_i z_j l_B}{\epsilon(1+\kappa D)} \frac{\exp(-\kappa(r-D))}{r} \right). \quad (35)$$

Diskussion:

- Gleichung (35) zeigt, dass Korrelationen in ionischen Fluiden kurzreichweilig sind und für große Abstände auf der Längenskala der Debye-länge κ^{-1} abfallen.

Für einwertige Salze ($z=1$) und Wasser ($\epsilon \approx 80$) beträgt die Debye-länge bei Raumtemperatur ($T=300K$) für eine Ionenstärke $J=1m\text{M}$ ca. $\kappa \approx 10\text{ nm}$.

Gemäß Gl. (25) nimmt sie $\sim 1/\sqrt{J}$ mit J ab.

Für verdünnte Elektrolytlösungen ist die Abhängigkeit der Korrelationen damit sehr viel größer als typische anorganische Ionen.

- Gleichung (35) führt bei genügend hohen Temperaturen (großen l_B) zu negativen Werten für $g_{ij}(r)$. Das ist unphysikalisch und hat seinen Ursprung in der Debye-Hückel-Näherung Gl.(17).
- Das elektrostatische Potential um ein geladenes Teilchen (Gl.(34)) fällt ebenfalls auf der Längenskala κ^{-1}

exponentiell ab.

Ionische Fluide schirmen demnach Ladungen und elektrische Felder ab, sodass das Innen eines Elektrolytlösung feldfrei ist.

Genan der gleiche Mechanismus führt zur Feldfreiheit im Innen eines Metalls, in dem das Elektronenplasma die Abschirmung bewirkt.

- §8. • Während die Poisson-Boltzmann-Theorie (§6) und die Debye-Hückel-Näherung (§7) für hinreichend verdünnte ionische Fluide anwendbar sind, versagen diese Zugänge bei großen Ionenstärken.

Der Grund ist der, dass dann die sterische Wechselwirkung, die in der Poisson-Boltzmann-Theorie (§4) vernachlässigt wird, relevant wird.

- Eine einfache Möglichkeit, sterische Effekte zu berücksichtigen, ist im Rahmen einer RPA der Coulomb-Wechselwirkung $\mathcal{O}(1)$ mit einem Fluid harter Kugeln als Referenzsystem.

Nach §4.3.1 kann die RPA des RPT dann mit Hilfe der direkten Korrelationsfunktionen

$$c_{ij}(r) = c^{(lk)}(r) + \Delta c_{ij}^{(el)}(r), \quad r = |\vec{r} - \vec{r}'| \quad (36)$$

geschrieben werden, wobei $c^{(lk)}(r)$ eine geeignete Näherung der direkten Korrelationsfunktion des Hart-Kugel-Fluids für die Packungsdichte $\eta = \frac{\pi}{6} D^3 \frac{N}{V}$ ist, z.B. der Ansatz nach Percus und Yevick (PY), und die elektrostatischen Beiträge durch den

R PA - Ansatz

$$\Delta C_{ij}^{(u)}(r) = \begin{cases} -z_i z_j \frac{\ell_B}{\varepsilon r}, & r > D \\ 0, & r < D \end{cases} \quad (37)$$

beschrieben werden.

- zur Bestimmung der partiellen Strukturfaktoren $S_{ij}(q), q=|\vec{q}|$ betrachtet man die 2×2 -Matrix $\underline{\underline{C}}(q)$ mit (vgl. § 8.3.4)

$$C_{ij}(q) = \frac{1}{2^2} \hat{C}_{ij}^{(u)}(q) = \frac{1}{2^2} \left(\hat{C}^{(u)}(q) + \Delta C_{ij}^{(u)}(q) \right). \quad (38)$$

Aus Gl. (37) folgt in d=3 Normindimensionen

$$\Delta \hat{C}_{ij}^{(u)}(q) = \frac{h\pi}{q} \left(-z_i z_j \frac{\ell_B}{\varepsilon} \right) \int_D^\infty dr \sin(qr) = -z_i z_j \frac{h\pi \ell_B}{\varepsilon} \frac{\cos(qD)}{q^2}, \quad (39)$$

wobei

$$\begin{aligned} \int_D^\infty dr \sin(qr) &= \text{Im} \lim_{\mu \rightarrow 0^+} \int_D^\infty dr \exp(-\mu + iq)r = \\ &= \text{Im} \lim_{\mu \rightarrow 0^+} \frac{-\exp(-\mu + iq)D}{-\mu + iq} \\ &= \text{Im} \frac{\exp(iqD)}{q} \\ &= \frac{\omega(qD)}{q} \end{aligned} \quad (40)$$

benutzt wurde.

Demnach gilt nach Gl. (8.3.18)

$$\underline{\underline{C}}(q) = \begin{pmatrix} C_{++}(q) & C_{+-}(q) \\ C_{-+}(q) & C_{--}(q) \end{pmatrix} \quad (41)$$

$$\Rightarrow (\underline{\underline{1}} - \underline{\underline{C}}(q)) = \begin{pmatrix} 1 - C_{++}(q) & -C_{+-}(q) \\ -C_{-+}(q) & 1 - C_{--}(q) \end{pmatrix} \quad (42)$$

$$\Rightarrow \underline{\underline{F}}(q) = (\underline{\underline{1}} - \underline{\underline{C}}(q))^{-1} = \frac{1}{(1 - C_{++}(q))^2 - C_{+-}(q)^2} \begin{pmatrix} 1 - C_{++}(q) & C_{+-}(q) \\ C_{-+}(q) & 1 - C_{--}(q) \end{pmatrix}. \quad (43)$$

- Hier ist es nützlich den Teilchen-Teilchen-Strukturfaktor

$$S_{NN}(\vec{q}) := \frac{1}{N} \left\langle \sum_i \hat{\tilde{g}}_i^{(l_n)}(\vec{q}) \sum_j \hat{\tilde{g}}_j^{(l_n)}(-\vec{q}) \right\rangle = \sum_{ij} S_{ij}(\vec{q}) \quad (44)$$

und den Ladungs-Ladungs-Strukturfaktor

$$S_{QQ}(\vec{q}) := \frac{1}{N} \left\langle \sum_i z_i \hat{\tilde{g}}_i^{(l_n)}(\vec{q}) \sum_j z_j \hat{\tilde{g}}_j^{(l_n)}(-\vec{q}) \right\rangle = \sum_{ij} z_i z_j S_{ij}(\vec{q}) \quad (45)$$

einzuführen.

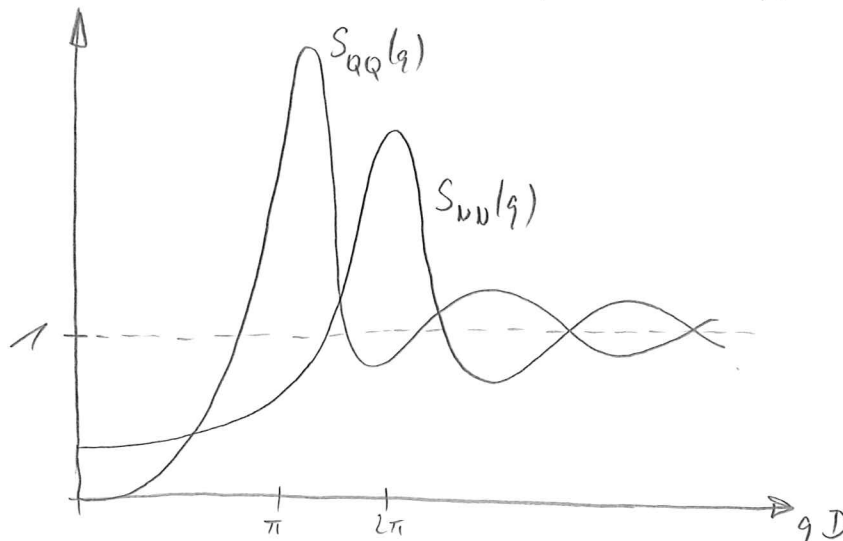
Sie beschreiben die Korrelationen in der Gesamtheilchenzahl-dichte $\sum_i \tilde{g}_i^{(l_n)}(\vec{r}, t)$ bzw. der Ladungsdichte $\sum_i z_i \tilde{g}_i^{(l_n)}(\vec{r}, t)$.

- Aus Gl. (44) findet man

$$\begin{aligned} S_{NN}(\vec{q}) &= \frac{1}{2} \sum_{ij} S_{ij}(\vec{q}) = \frac{1 - \ell_{++}(\vec{q}) + \ell_{+-}(\vec{q})}{(1 - \ell_{++}(\vec{q}))^2 - \ell_{+-}(\vec{q})^2} = \frac{1}{1 - \ell_{++}(\vec{q}) - \ell_{+-}(\vec{q})} \\ &= \frac{1}{1 - \frac{2\pi}{\vec{q}^2} \Delta \hat{c}_{++}^{(l_n)}(\vec{q})} = S^{(l_n)}(\vec{q}) \end{aligned} \quad (46)$$

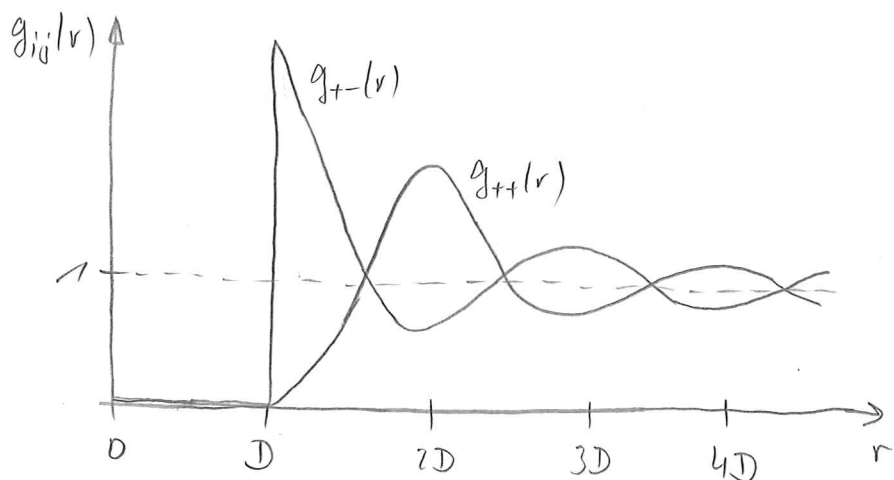
und

$$\begin{aligned} S_{QQ}(\vec{q}) &= \frac{1}{2} \sum_{ij} z_i z_j S_{ij}(\vec{q}) = \frac{1 - \ell_{++}(\vec{q}) - \ell_{+-}(\vec{q})}{(1 - \ell_{++}(\vec{q}))^2 - \ell_{+-}(\vec{q})^2} = \frac{1}{1 - \ell_{++}(\vec{q}) + \ell_{+-}(\vec{q})} \\ &= \frac{1}{1 - \frac{2\pi}{\vec{q}^2} \Delta \hat{c}_{++}^{(l_n)}(\vec{q})} = \frac{1}{1 - \frac{2\pi}{\vec{q}^2} \left(-\frac{e^2 k_B l_B}{\epsilon} \right) \frac{\cos(qD)}{q^2}} \\ &= \frac{1}{1 + \frac{8\pi k_B l_B}{\epsilon} \frac{\cos(qD)}{q^2}} = \frac{1}{1 + \left(\frac{k}{q} \right)^2 \cos(qD)} \end{aligned} \quad (47)$$



• Diskussion:

- i) Der Teilchen-Teilchen-Strukturfaktor $S_{NN}(q)$ des RPA ist hier identisch mit dem Strukturfaktor $S^{(1,1)}(q)$ des Hart-Kugel-Fluids, d.h. einer einfachen Flüssigkeit.
Sein Hauptpeak bei $qD \approx 2\pi$ weist auf eine Schichtbildung im Abstand $\frac{2\pi}{q} \approx D$ hin.
- ii) Der Hauptpeak des Ladungs-Ladungs-Strukturfaktors $S_{QQ}(q)$ befindet sich bei $qD \approx \pi$.
Daraus folgt eine Oszillation des Ladungsdichte um ein fixiertes Teilchen mit Wavelengthe $\frac{2\pi}{q} = 2D$. Zusammen mit der Schichtstruktur im Abstand D (siehe i)) ergibt sich somit eine alternierende Besetzung des einzelnen Schichten mit gleich- oder entgegengesetztladenen Ionen:



§9. Der in Gl. (45) definierte Ladungs-Ladungs-Strukturfaktor $S_{QQ}(q)$ besitzt einen interessanten Zusammenhang mit der nichtlokalen statischen dielektrischen Funktion $\epsilon(\vec{r}-\vec{r}')$, die durch

$$\tilde{D}(\vec{r}) = \int d^3r' \epsilon(\vec{r}-\vec{r}') \tilde{E}(\vec{r}')$$
 (48)

definiert ist.

Fouriertransformation liefert

$$\hat{\vec{D}}(\vec{q}) = \hat{\epsilon}(\vec{q}) \hat{\epsilon}_0 \hat{\vec{E}}(\vec{q}) \quad (49)$$

und somit

$$\frac{i\vec{q} \cdot \hat{\vec{D}}(\vec{q})}{\hat{\epsilon}(\vec{q})} = \epsilon_0 i\vec{q} \cdot \hat{\vec{E}}(\vec{q}). \quad (50)$$

Der Ausdruck $i\vec{q} \cdot \hat{\vec{D}}(\vec{q})$ ist die Fouriertransformierte der externen Ladungsdichte (Gaußsches Gesetz).

Andererseits gilt $\vec{D}(\vec{r}) = -\epsilon_0 \epsilon \nabla \phi_{ext}(\vec{r})$, also

$$i\vec{q} \cdot \hat{\vec{D}}(\vec{q}) = \epsilon_0 \epsilon \vec{q}^2 \hat{\phi}_{ext}(\vec{q}). \quad (51)$$

Das gesamte elektrische Feld $\vec{E}(\vec{r})$ wird erzeugt durch die externen und die interne Ladungsverteilung, sodass

$$\epsilon_0 \epsilon i\vec{q} \cdot \hat{\vec{E}}(\vec{q}) = \epsilon_0 \epsilon \vec{q}^2 \hat{\phi}_{ext}(\vec{q}) + \hat{Q}(\vec{q}) \quad (52)$$

mit der induzierten Ladungsdichte

$$Q(\vec{r}) := e \sum_j z_j s_j(\vec{r}). \quad (53)$$

Damit bekommt man aus Gl. (50)

$$\frac{\epsilon}{\hat{\epsilon}(\vec{q})} = 1 + \frac{Q(\vec{q})}{\epsilon_0 \epsilon \vec{q}^2 \hat{\phi}_{ext}(\vec{q})}. \quad (54)$$

Die induzierte Ladungsdichte $Q(\vec{r})$ ergibt sich aus dem externen Potential $\phi_{ext}(\vec{r})$ aus

$$Q(\vec{r}) = \int d\vec{r}' \chi(\vec{r}-\vec{r}') \phi_{ext}(\vec{r}') \quad (55)$$

mit

$$\chi(\vec{r}-\vec{r}') = \frac{\delta Q(\vec{r})}{\delta \phi_{ext}(\vec{r}')}. \quad (56)$$

Mit der Yvon-Gleichung Gl. (2.3.16) und Gl. 19) folgt

$$\chi(\vec{r}-\vec{r}') = \sum_j e z_j \frac{\delta s_j(\vec{r})}{\delta \beta V_u(\vec{r}')} \quad \text{Betr. } \beta e^2 \sum_{jk} z_j z_k G_{jk}(\vec{r}-\vec{r}'). \quad (57)$$

Mit

$$\begin{aligned}
 \hat{G}_{jk}(\vec{q}) &= \frac{1}{|V|} \int d^3r \int d^3r' \underbrace{G_{jk}(r-r')}_{\sim} \exp(-iq \cdot (r-r')) \\
 &= \langle \tilde{g}_j^{(n)}(\vec{r}) \tilde{g}_k^{(n)}(\vec{r}') \rangle - \bar{g}_j \bar{g}_k \\
 &\stackrel{\vec{q} \neq 0}{=} \frac{1}{|V|} \langle \tilde{g}_j^{(n)}(\vec{q}) \tilde{g}_k^{(n)}(-\vec{q}) \rangle \\
 &= \frac{N}{|V|} S_{dk}(\vec{q}) \tag{58}
 \end{aligned}$$

ist nach Gl. (55) und (57)

$$\frac{\hat{Q}(\vec{q})}{\hat{\Phi}_{\text{ext}}(\vec{q})} = \hat{\chi}(\vec{q}) = -\beta e^2 \sum_{jk} \tilde{g}_j \tilde{g}_k \frac{N}{|V|} S_{dk}(\vec{q}) = -\beta e^2 \frac{N}{|V|} S_{QQ}(\vec{q}). \tag{59}$$

Damit findet man aus Gl. (54) den Zusammenhang

$$\frac{\epsilon}{\hat{\epsilon}(\vec{q})} = 1 - \underbrace{\frac{\beta e^2 N}{\epsilon \epsilon |V|}}_{= \kappa^2} \frac{S_{QQ}(\vec{q})}{\vec{q}^2} = 1 - \left(\frac{\kappa}{|\vec{q}|}\right)^2 S_{QQ}(\vec{q}). \tag{60}$$

§10. Für $q \rightarrow 0$ findet man in Gl. (47)

$$S_{QQ}(q) = \left(\frac{q}{\kappa}\right)^2 + O(q^4) \tag{61}$$

und daher mit Gl. (60)

$$\frac{\epsilon}{\hat{\epsilon}(q)} = 1 - \left(\frac{\kappa}{q}\right)^2 \left(\left(\frac{q}{\kappa}\right)^2 + O(q^4)\right) = O(q^2). \tag{62}$$

Dannach divergiert $\hat{\epsilon}(q)$ in einem ionischen Fluid gemäß

$$\hat{\epsilon}(q \rightarrow 0) \sim \frac{1}{q^2}. \tag{63}$$

Nach Gl. (49) ist das Ausdrück des Abschirmverhaltens von externen elektrischen Feldern ($\vec{D}(\vec{r})$) durch ionische Fluide.

§11. Nach Gl. (8.3.10) gilt für $d=3$ Raumdimensionen

$$\begin{aligned}
 S_{QQ}(q) &= \sum_{ij} z_i z_j (x_i \delta_{ij} + x_i x_j g_{ij} h_{ij}(q)) \\
 &= \sum_{ij} z_i z_j \left(x_i \delta_{ij} + 4\pi x_i x_j g \int_0^\infty dr r^2 \underbrace{\frac{\sin(qr)}{qr}}_{\sim} h_{ij}(r) \right) \\
 &= 1 - \frac{1}{6} (qr)^2 + O(q^4) \\
 &= \sum_{ij} z_i z_j \left(x_i \delta_{ij} + 4\pi x_i x_j g \left(\int_0^\infty dr r^3 h_{ij}(r) - \frac{q^2}{6} \int_0^\infty dr r^4 h_{ij}(r) \right. \right. \\
 &\quad \left. \left. + O(q^4) \right) \right). \tag{64}
 \end{aligned}$$

Vergleicht man dies mit Gl. (61), so findet man

$$\sum_{ij} z_i z_j (x_i \delta_{ij} + 4\pi x_i x_j g \int_0^\infty dr r^3 h_{ij}(r)) = 0 \tag{65}$$

$$\sum_{ij} z_i z_j 4\pi x_i x_j g \left(-\frac{1}{6} \right) \int_0^\infty dr r^4 h_{ij}(r) = \frac{1}{K^2} \tag{66}$$

und wegen $h_{ij} = g_{ij} - 1$ und $\sum_i z_i x_i = 0$

$$\sum_i z_i x_i g \int d^3r \sum_j z_j x_j g_{ij}(\vec{r}) = - \sum_i z_i^2 x_i \tag{67}$$

$$\sum_i z_i x_i g \int d^3r \sum_j z_j x_j g_{ij}(\vec{r}) \vec{r}^2 = - \frac{6}{K^2} \tag{68}$$

Die Gleichungen (67) und (68) nennt man die Stillinger-Lovett-Summenregeln.

Gleichung (67) folgt auch schon aus der Bedingung der globalen Ladungneutralität:

$$\begin{aligned}
 z_i e + \sum_j z_j e x_j g \underbrace{\int d^3r g_{ij}(\vec{r})}_{=g_{ij}(\vec{r})} &= 0. \tag{69}
 \end{aligned}$$

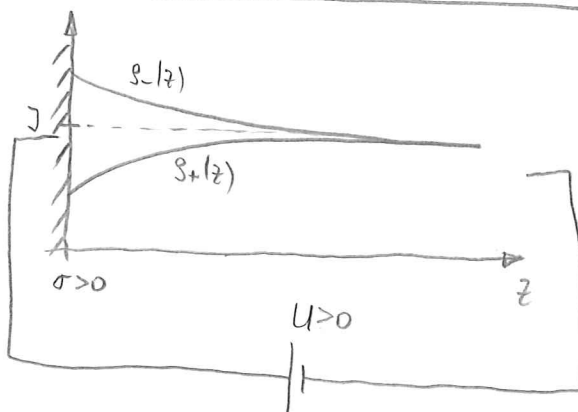
9.2 Ionierte Fluide an geladenen Wänden

§1. Die Strukturierung von Fluiden an Wänden ist bekanntermaßen Ursache für wichtige Phänomene wie die Grenzflächenspannung, die eine entscheidende Rolle bei der Mechanik von ionaren Fluiden spielt.

In Zusammenhang mit ionischen Fluiden hat man darüberhinaus noch die Möglichkeit kontrollierter chemischer Reaktionen (Redoxreaktionen, z.B. in Elektrolyse und Galvanisierung).

Hier soll die Struktur ionischer Fluide und wichtige damit zusammenhängende Größen besprochen werden.

Dazu wird im Folgenden stets von einem halbkreisförmigen System und einer ebenen geladenen Wand ausgegangen:



z.B. einwertiges Salz

§2. Für verdünnte Elektrolytlösungen kann von der Gouy-Chapman Theorie (d.h. der Poisson-Boltzmann-Theorie für planare Wände)

$$\beta \sigma(z) = A \left(\int_0^z \left(\sum_i s_i(z) \left(\ln(s_i(z)/\Lambda_i) - \kappa \beta \rho_{\text{gas}} \right) + \frac{\beta D_z(z)^2}{2 \epsilon \epsilon_0} \right) - \beta U D_z(z) \right) \quad (1)$$

ausgegangen werden.

Hierin ist $D_z(z)$ die z -Komponente des Vektors $\vec{D}(z)$ der elektrischen Verschiebung und ϵ ist die Dielektrizitätskonstante des Lösungsmittels (das hier nicht explizit modelliert wird).

Der Term $\frac{D_2(z)^2}{\gamma \epsilon \epsilon}$ ist die Energie-dichte des elektrostatischen Felds, und $A U D_2(0)$ ist die Arbeit, die die Spannungsrinne leisten muss, um die Oberflächendichten-dichte $\sigma = D_2(0)$ zu generieren.

Nach dem Gaußschen Gesetz gilt

$$D_2'(z) = e \sum_i z_i g_i(z) \quad (2)$$

und daher

$$D_2(\infty) - D_2(0) = \int_0^\infty dz e \sum_i z_i g_i(z). \quad (3)$$

Für $z \rightarrow \infty$ konvergiieren die Dichteprofile $g_i(z)$ gegen die Dichten im homogenen Fluid,

$$\lim_{z \rightarrow \infty} g_i(z) = \bar{g}_i \quad (4)$$

wobei dort lokale Ladungsnensitität besteht:

$$e \sum_i z_i \bar{g}_i = 0 \quad (5)$$

§3. Die Variation von Gl.(1) mit Nebenbedingung Gl. (3) ergibt

$$\begin{aligned} \delta \beta \mathcal{H}[g] &= A \left(\int_0^\infty dz \left(\sum_i \delta g_i(z) \left(\lambda_n(g_i(z), \Lambda_i^d) - \beta \mu_i \right) + \underbrace{\frac{\beta D_2(z)}{\epsilon \epsilon} \delta D_2(z)}_{= -\beta \psi(z)} \right) - \beta U \delta D_2(0) \right) \\ &= -\beta \underbrace{\left((\psi(z) \delta D_2(z))' - \psi(z) \delta D_2'(z) \right)}_{= -\beta \left((\psi(z) \delta D_2(z))' - \psi(z) \delta D_2'(z) \right)} \\ &= A \left(\int_0^\infty dz \sum_i \delta g_i(z) \left(\lambda_n(g_i(z), \Lambda_i^d) - \beta \mu_i + \beta e z_i \psi(z) \right) \right. \\ &\quad \left. - \beta \psi(\infty) \delta D_2(\infty) + \beta (\psi(0) - U) \delta D_2(0) \right) \\ &\stackrel{!}{=} A \beta \lambda \left(-\delta D_2(\infty) + \delta D_2(0) + \int_0^\infty dz e \sum_i z_i \delta g_i(z) \right) \end{aligned} \quad (6)$$

wobei Abz des Lagrange-Multiplikator der Nebenbedingung Gl.(3) ist.

Daraus ergeben sich die ELG

$$\ln(g_i(z)/\lambda_i^{\text{el}}) - \beta\mu_i + \beta e^{-\beta z} \psi(z) = \beta e^{-\beta z} \lambda, \quad (7)$$

$$\psi(\infty) = \lambda, \quad (8)$$

$$\psi(0) - U = \lambda. \quad (9)$$

§4. Da das elektrostatische Potential $\psi(z)$ nur bis auf eine additive Konstante bestimmt ist, kann z.B. $\psi(\infty) := 0$ gewählt werden, was nach Gl.(8) $\lambda = 0$ und dann nach Gl.(9) $\psi(0) = U$ zur Folge hat.

Damit findet man mit Gl.(7)

$$g_i(z) = \frac{\exp(\beta\mu_i)}{\lambda_i^{\text{el}}} \exp(-\beta e^{-\beta z} \psi(z)). \quad (10)$$

Nach Gl.(4) folgt dann

$$\lim_{z \rightarrow \infty} g_i(z) = \frac{\exp(\beta\mu_i)}{\lambda_i^{\text{el}}} = \bar{g}_i, \quad (11)$$

also

$$g_i(z) = \bar{g}_i \exp(-\beta e^{-\beta z} \psi(z)). \quad (12)$$

Gleichung (2) führt dann auf die Gouy-Chapman-Gleichung

$$-\epsilon\epsilon_0 \psi''(z) = e \sum_i z_i \bar{g}_i \exp(-\beta e^{-\beta z} \psi(z)), \quad (13)$$

die mit den Randbedingungen

$$\psi(0) = U, \quad \psi(\infty) = 0 \quad (14)$$

zu lösen ist.

§5. Beispiel: Einwelliges Satz ($\bar{z}_+ = 1, \bar{z}_- = -1, \bar{s}_+ = \bar{s}_- = 1$)

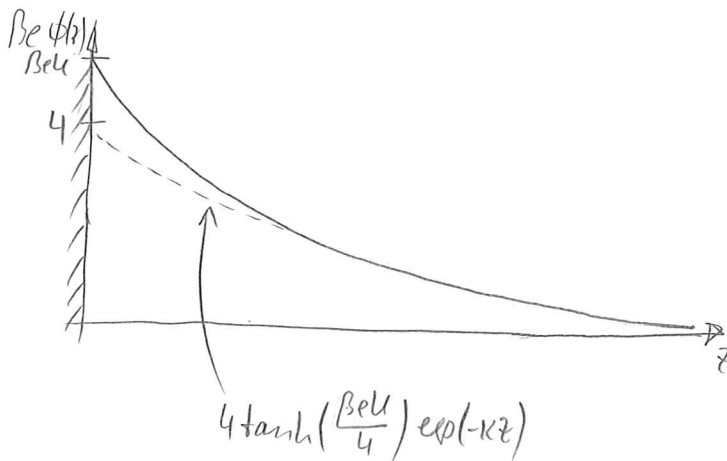
Gleichung (13) vereinfacht sich zu

$$\begin{aligned} -\varepsilon_0 \varepsilon \psi''(z) &= e^z (\wp(-\beta e \phi(z)) - \wp(\beta e \phi(z))) \\ &= -2e^z \sinh(\beta e \phi(z)) \end{aligned} \quad (15)$$

$$\Leftrightarrow \beta e \phi''(z) = \frac{2 \beta e^2}{\varepsilon_0 \varepsilon} \underbrace{\sinh(\beta e \phi(z))}_{=K^2}, \quad (16)$$

Mit den Randbedingungen Gl. (14) ergibt sich die Lösung

$$\beta e \phi(z) = 4 \operatorname{artanh} \left(\tanh \left(\frac{\beta e U}{4} \right) \wp(-K z) \right). \quad (17)$$



§6. Multiplikation von Gl. (13) mit $\phi'(z)$ ergibt

$$-\varepsilon_0 \varepsilon \psi'(z) \psi''(z) = e^z \wp(-\beta e \phi(z)) \phi'(z) \quad (18)$$

$$\Leftrightarrow \left(-\frac{1}{2} \varepsilon_0 \varepsilon \phi'(z)^2 \right)' = \left(-\frac{1}{\beta} \varepsilon_0 \wp(-\beta e \phi(z)) \right)' \quad (19)$$

Wegen $\phi(\infty) = 0$ und daher $\phi'(\infty) = 0$ ist dann

$$-\frac{1}{2} \varepsilon_0 \varepsilon \phi'(0)^2 = -\frac{1}{\beta} \varepsilon_0 \wp(-\beta e \phi(0)) - 1. \quad (20)$$

Beachtet man schließlich $\phi(0) = 0$ und $\phi'(0) = -\frac{\sigma}{\varepsilon \varepsilon}$,

so erhält man die Graham-Gleichung

$$\sigma^2 = \frac{2\epsilon\epsilon_0}{\beta} \sum_i g_i (\exp(-\beta e_i U) - 1). \quad (21)$$

Sie liefert den Zusammenhang zwischen der Wandladung σ und dem Wandpotential U .

- Für das Beispiel des einwertigen Salzes in §5 lautet die Graham-Gleichung

$$\begin{aligned} \sigma^2 &= \frac{2\epsilon\epsilon_0}{\beta} [(\exp(-\beta e U) + \exp(\beta e U) - 2) \\ &= \frac{4\epsilon\epsilon_0}{\beta} (\cosh(\beta e U) - 1) \\ &= \frac{8\epsilon\epsilon_0}{\beta} \sinh^2\left(\frac{\beta e U}{2}\right) \end{aligned} \quad (22)$$

$$\Rightarrow \sigma = \sqrt{\frac{8\epsilon\epsilon_0}{\beta}} \sinh\left(\frac{\beta e U}{2}\right) = \frac{2\epsilon\epsilon_0 k}{\beta e} \sinh\left(\frac{\beta e U}{2}\right) \quad (23)$$

- Das Wandpotential U unterscheidet sich von den experimentell (z. B. mit einem Voltmeter) bestimmbarer Spannungen U_{exp} um eine Konstante K , d.h.

$$U = U_{\text{exp}} + K, \quad (24)$$

welche von der verwendeten Referenzelektrode, z.B. einer Standard-Wasserstoff-Elektrode (SHE = standard hydrogen electrode), abhängt.

Nun drückt daher U in Gl. (23) durch das sogenannte "potential of zero charge" (pzc) aus, das durch die Spannung $U_{\text{exp}}^{\text{pzc}}$ definiert ist, für die $\sigma=0$ gilt.

Nach Gl. (21) ist

$$U^{\text{pzc}} = U_{\text{exp}}^{\text{pzc}} + K = 0 \quad (25)$$

$$\Rightarrow K = -U_{\text{exp}}^{\text{pzc}} \quad (26)$$

Damit lautet die Grahame-Gleichung Gl.(21)

$$\sigma^2 = \frac{2\epsilon\epsilon_0}{\beta} \cdot \epsilon \cdot \bar{s} \cdot (\exp(-\beta\varepsilon; (U_{exp} - U_{exp}^{pzc})) - 1) \quad (27)$$

und Gl.(23) für das einwertige Salz

$$\sigma = \sqrt{\frac{8\epsilon\epsilon_0}{\beta}} \sinh\left(\frac{\beta(U_{exp} - U_{exp}^{pzc})}{2}\right) = \frac{2\epsilon\epsilon_0 k}{\beta} \sinh\left(\frac{\beta(U_{exp} - U_{exp}^{pzc})}{2}\right). \quad (28)$$

§7. Experimentell zugänglich ist die differentielle Kapazität

$$C := \frac{\partial \sigma}{\partial U}. \quad (29)$$

Sie gibt die Änderung der Oberflächenladungsdichte σ bei Änderung des Wandpotentials U .

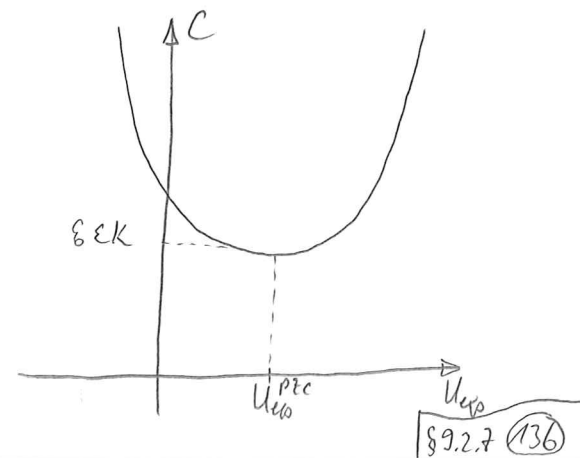
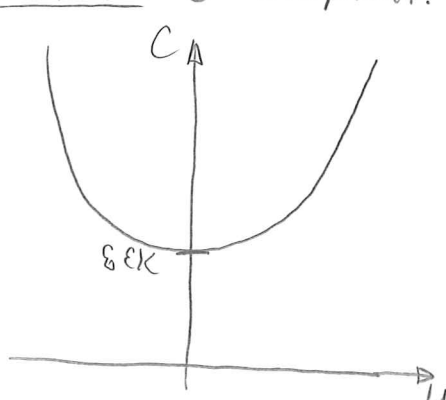
Generell werden kann C über den Strom, der in Reaktion auf eine Spannungsänderung auftritt.

Die differentielle Kapazität C ist stets positiv.

Für das einwertige Salz folgt aus Gl.(23) und (28)

$$C = \epsilon\epsilon_0 \cosh\left(\frac{\beta U}{2}\right) = \epsilon\epsilon_0 \cosh\left(\frac{\beta(U_{exp} - U_{exp}^{pzc})}{2}\right). \quad (30)$$

Die differentielle Kapazität C besitzt also am pzc ein Minimum von $\epsilon\epsilon_0$, was einem Plattenkondensator mit Plattenabstand von einer Debye-Länge κ^{-1} und einem Dielлектрикум im Innern mit Dielлектрикост-константе ϵ entspricht.



§8. Nach Gl. (7.2.7) ist die Grenzflächenspannung bzgl. der Grenzflächenposition z_0 gegeben durch

$$\beta\gamma(z_0) = \frac{\beta\sigma_0 + \beta\rho|U(z_0)|}{A} = \frac{\beta\sigma(g_0) + \beta\rho|U(z_0)|}{A}. \quad (31)$$

Für die Änderung der Grenzflächenspannung $\delta\gamma(z_0)$ mit dem Umweltpotential U findet man dann mit Gl. (11) und (16)

$$\begin{aligned}\delta\gamma(z_0) &= \frac{\partial\gamma(z_0)}{\partial U} \delta U \\ &= \frac{1}{\beta A} \left(\underbrace{\delta(\beta\sigma(g_0))}_{=0} - \beta A \underbrace{\delta\sigma(0)}_{=\sigma} \right) \\ &= -\sigma \delta U.\end{aligned} \quad (32)$$

Daraus ergibt sich die erste Lippmann-Gleichung

$$\frac{\partial\gamma(z_0)}{\partial U} = -\sigma. \quad (33)$$

Sie entspricht der Gibbsschen Adsorptionsisothermen Gl. (7.2.11) für die Ladungsträger in der Elektrode (meistens Elektronen).

Man beachte, dass $\gamma(z_0)$ von der Wahl der Grenzflächenposition z_0 abhängt, & dagegen nicht.

Für das einwertige Salz hat man mit Gl. (13)

$$\begin{aligned}\gamma(U) - \gamma(0) &= \int_0^U \frac{\partial\gamma}{\partial U}(U') = - \int_0^U \delta U' \sigma(U') \\ &= -\frac{4\epsilon\epsilon_K}{\beta e^2} \left(\text{cosh}\left(\frac{\beta e U}{2}\right) - 1 \right)\end{aligned}$$

$$\begin{aligned}\beta e U \ll 1 \\ \simeq -\frac{1}{2} \epsilon\epsilon_K U^2.\end{aligned} \quad (34)$$

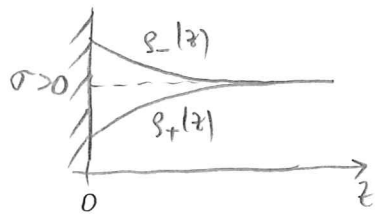
§9. Erneute Ableitung von Gl. (33) nach U liefert mit Gl. (29) die zweite Lippmann-Gleichung

$$\frac{\partial^2 \gamma(z_0)}{\partial U^2} = -C. \quad (35)$$

So kann man nach Messung von $C(U)$ durch zweimalige Integration die Grenzflächenspannung $\gamma(z_0)$ bestimmen.

Die erste Lippmann-Gleichung Gl. (33) und die zweite Lippmann-Gleichung Gl. (35) zeigen, dass die sogenannte Elektrokapillaritätskurve $\gamma(U)$ am ptc ein Maximum annimmt.

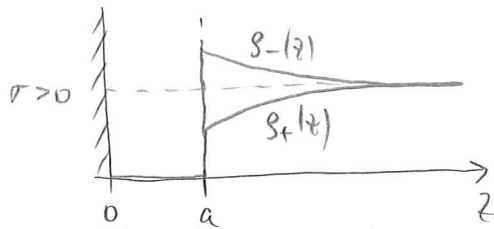
§10. Die bisher besprochene Gouy-Chapman-Theorie Gl. (n) geht von der Vorstellung aus, dass sich die Jonen der Wand bis $z=0$ nähern können:



Dies ist natürlich nur so lange vertretbar wie die Jonen als punktförmige Teilchen angesehen werden können.

Diese Voraussetzung gilt nur für stark verdünnte Elektrolytlösungen, für die die Debye-Länge κ^{-1} sehr viel größer ist als die Größe der Jonen.

Eine Verbesserung stellt das sogenannte „basic Sternmodell“ (BSM) dar, in dem sich die Jonen der geladenen Wand nur bis auf einen Abstand a („Jonenradius“) nähern können:



Der Bereich $z \in (0, a)$ heißt „Stern-Schicht“ (nach Otto Stern) oder „kompakte Schicht“, während der Bereich $z > a$ „diffuse Schicht“ heißt.

Wegen der Ladungsfreiheit in der kompakten Schicht wirkt dort das elektrostatische Potential $\phi(z)$ linear sein.

In Wandnähe unterscheiden sich die dielektrischen Eigenschaften des Mediums von denen im Bulk, sodass in der kompakten Schicht eine andere, i.A. unbekannte, Dielektrizitätskonstante ϵ_K angenommen wird.

Damit hat man

$$\phi(0) - \phi(a) = -\frac{\sigma a}{\epsilon \epsilon_K} = -\frac{\sigma}{C_H} \quad (36)$$

mit der sogenannten Helmholtz-Kapazität

$$C_H = \frac{\epsilon \epsilon_K}{a}. \quad (37)$$

Ableitung von Gl.(36) nach σ liefert

$$\frac{\partial \phi(0)}{\partial \sigma} - \frac{\partial \phi(a)}{\partial \sigma} = \frac{1}{C_H}. \quad (38)$$

Der Ausdruck $\frac{\partial \phi(a)}{\partial \sigma} = \frac{1}{C_{GC}}$ ist das Reziproke des Gouy-Chapman-Kapazität in der diffusen Schicht, z.B. für ein einwertiges Salz (vgl. Gl.(30))

$$C_{GC} = \epsilon \epsilon_K \cosh\left(\frac{\beta \phi(a)}{2}\right). \quad (39)$$

Entsprechend ist $\frac{\partial \psi(0)}{\partial r} = \frac{\partial U}{\partial r} = \frac{1}{C}$ das Reziproke des differentiellen Kapazität der gesamten Anordnung.

Gleichung (38) ergibt

$$\frac{1}{C} = \frac{1}{C_H} + \frac{1}{C_C}, \quad (40)$$

was einer Reihenschaltung zweier Platten kondensatoren entspricht.

§M. Eine weitere Verfeinerung stellt die Berücksichtigung spezifischer Absorption, d.h. das Abstoßen der Hydrathülle und Anlagern von Ionen an der Wand.

Hierbei entsteht innerhalb des Stern-Schicht eine Ladungsverteilung auf der sogenannten inneren Helmholtz-Ebene (IHP = innerer Helmholtz plane), während in diesem Zusammenhang die Grenze des diffusen Schicht, bis zu der hydratisierte Ionen vordringen können äußere Helmholtz-Ebene (OHP = äußerer Helmholtz plane) heißt.

